

Влияние импульсного электрического тока на механические свойства алюминида титана, полученного методом самораспространяющегося высокотемпературного синтеза

Г. В. Степанов^a, А. И. Бабуцкий^a, А. В. Чижик^a, В. Е. Громов^b

^a Институт проблем прочности им. Г. С. Писаренко НАН Украины, Киев, Украина

^b Сибирский государственный индустриальный университет, Новокузнецк, Россия

Приведены результаты исследований по оценке влияния обработки импульсным электрическим током на прочность при изгибе и твердость интерметаллида алюминий титана, полученного методом самораспространяющегося высокотемпературного синтеза. Показано, что вследствие обработки несколько повышаются прочность и пластичность интерметаллида по сравнению с исходным состоянием и уменьшается его твердость. Результаты микроструктурных исследований показывают, что снижение хрупкости материала при обработке является следствием стимулированного током изменения тонкой структуры материала, перераспределения пор и уменьшения остаточных растягивающих напряжений.

Ключевые слова: интерметаллид TiAl, импульсный электрический ток, трехточечный изгиб, пористость, рентгеновская дифракция.

Введение. Алюминид титана представляет собой интерметаллическое химическое соединение с удельным весом около 4 г/см³ (γ -TiAl). Существуют три основные его разновидности: γ -TiAl; α_2 -Ti₃Al и TiAl₃. Однако наибольший практический интерес представляют материалы на основе γ -TiAl, обладающие высокими механическими (удельная прочность, сопротивление ползучести), антикоррозионными свойствами и стойкостью к окислению при повышенных температурах (выше 600°C). Благодаря этому они могут применяться в автомобильной и авиационной промышленности [1–3]. Данные материалы рассматриваются в качестве альтернативы традиционным жаропрочным сплавам на основе никеля, которые используются при производстве деталей авиационных двигателей (диски, лопатки турбин и компрессоров), поскольку их удельный вес практически в два раза ниже.

Однако материалы на основе γ -TiAl обладают низкой пластичностью, причем не только при комнатной, но и при повышенных температурах. Поэтому они рассматриваются, за редким исключением, как “перспективные” [4], несмотря на то что первые материалы на их основе были получены в лабораторных условиях примерно в 70-х годах 20 ст.

Производство конструкционных материалов на основе алюминидов титана – многостадийный и сложный процесс, суть которого состоит в получении заготовок интерметаллида и последующей финишной обработке образцов (изделий). При этом используются различные методы, которые могут включать до десяти операций с целью получения материала с необходимыми свойствами. Наиболее часто применяют технологии порошковой металлургии, плавку в дуговой печи в атмосфере аргона, вакуумно-дуговой переплав с последующими операциями, в частности различные отжиги и др. В качестве

финишной обработки используют изотермический отжиг, баротермическую обработку [5], высокоинтенсивную ионную имплантацию [6] и др.

При производстве интерметаллидов применяется технология, основанная на использовании самораспространяющегося высокотемпературного синтеза (СВС) [7, 8]. Данная технология, являющаяся чрезвычайно высокоэффективным способом получения различных конструкционных материалов, была впервые разработана в 1967 г. [9]. Она представляет собой химический процесс с выделением тепла в режиме типа горения, что приводит к образованию твердых продуктов. Однако, как и при использовании других методов получения интерметаллических материалов из порошков, после СВС возникает необходимость в проведении той или иной финишной обработки, обеспечивающей необходимый комплекс физико-механических свойств.

В данной работе представлены результаты исследования по оценке влияния обработки импульсным электрическим током (ИЭТ) высокой плотности на механические характеристики алюминида титана, полученного СВС.

Образцы, методы обработки и испытаний. В качестве объекта исследования использовали материал системы Ti–48Al–2Nb–2Cr (ат.%). Образцы вырезали из заготовки (рис. 1), полученной по технологии СВС, из смеси порошков (табл. 1). Плотность материала после СВС составляет $3,90\ldots3,92 \text{ г/см}^3$, пористость – 96,5…97,5%.

Таблица 1

Состав исходных порошков и размеры их частиц

Порошок	Размер частиц, мкм	Химический состав (мас.%)							
		Ti	Al	Cr	Nb	O	H	C	N
Ti	< 75	99,7	–	–	–	0,229	0,0200	0,018	0,016
Al	< 200	–	99,500	–	–	–	–	–	–
Nb	< 45	–	–	–	99,8	0,010	0,0006	0,004	0,003
Cr	< 45	–	0,002	99,89	–	0,067	–	0,005	0,035

Для испытаний на трехточечный изгиб из заготовки путем электроэроплатиновой резки вырезали образцы с прямоугольным поперечным сечением (высота $h = 2,95 \text{ мм}$, ширина $b = 5,97 \text{ мм}$, длина $l = 25 \text{ мм}$) – рис. 1. Аналогичные образцы использовали при испытаниях на индентирование и при изучении микроструктуры.

Исследования проводили на образцах в исходном состоянии и после обработки ИЭТ (вдоль образца пропускали один импульс тока в виде затухающей синусоиды длительностью около 400 мкс, максимальное значение тока – 82 кА) при комнатной температуре. Результаты измерений температуры при обработке с помощью хромель-алюмелевой термопары (диаметр проволок – 0,2 мм) свидетельствуют о нагреве образцов до 420…425°C. Методики пропускания ИЭТ и его регистрации приведены [10].

Испытания на трехточечный изгиб выполняли на сервогидравлической испытательной машине BISS-202-V при скорости нагружения 0,5 мм/мин.

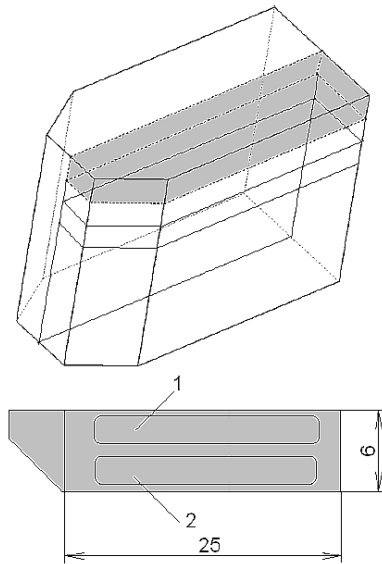


Рис. 1. Схема вырезки образцов и границы зон анализа пористости в центральной части заготовки (1) и у края образца (2).

Длина между опорами при испытаниях $L = 20$ мм. Твердость измеряли с помощью микротвердометра ПМТ-3 при нагрузке на индентор 1 Н.

Для металлографических исследований материала использовали микроскоп Axiovert 40 MAT. Наряду с изучением структуры материала в исходном состоянии и обработанном ИЭТ после химического травления пористость определяли на непротравленных шлифах.

Рентгеноструктурный фазовый анализ проводили на дифрактометре Дрон-3М. В качестве источника излучения использовали рентгеновскую трубку с медным анодом Cu-K α с длиной волны $\lambda = 1,54056$ Å. Съемку осуществляли в диапазоне угла $2\theta = 20 \dots 140^\circ$ с шагом считывания сигнала, составляющим одну секунду. Рентгенограммы расшифровывали с помощью электронной базы ASTM/JCPDS.

Результаты испытаний и их анализ. На рис. 2 приведены характерные диаграммы нагружения образцов (диаграммы нагрузка – прогиб посередине образца) при испытаниях на трехточечный изгиб.

Максимальное изгибающее напряжение $\sigma_{изг}$ в образце рассчитывали по зависимости

$$\sigma_{изг} = \frac{3PL}{2bh^2},$$

где P – максимальная нагрузка, при которой происходит разрушение.

Максимальную деформацию образца при изгибе $\varepsilon_{изг}$ определяли следующим образом:

$$\varepsilon_{изг} = \frac{6\delta h}{L^2},$$

где δ – максимальный прогиб образца.

В табл. 2 представлены результаты испытаний на изгиб, усредненные по данным трех образцов в исходном состоянии и после обработки ИЭТ, а также измерений микротвердости образцов (по 40 измерений в каждом состоянии).

Таблица 2

Результаты испытаний образцов

Материал	Микротвердость, H_μ^{100}		$\sigma_{\text{изг}},$ МПа	$\varepsilon_{\text{изг}},$ %
	Среднее значение	Среднеквадратическое отклонение		
Исходный	357	120	325	0,83
После ИЭТ	284	84	347	0,97

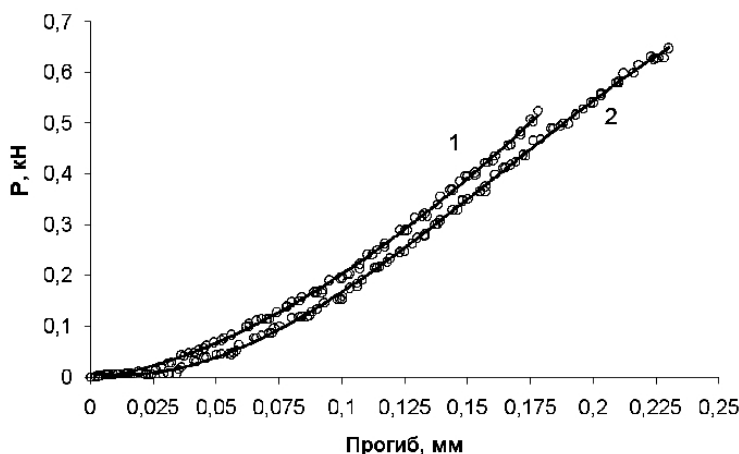


Рис. 2. Характерные диаграммы нагружения образцов в исходном состоянии (1) и после обработки ИЭТ (2) при испытаниях на трехточечный изгиб.

Данные механических испытаний показывают, что при обработке ИЭТ происходит снижение хрупкости материала образцов: твердость снижается на 20%, деформация до разрушения повышается на 17%, при этом незначительно увеличивается прочность (на 7%). Заметим, что при этом происходит уменьшение разброса значений твердости: относительное рассеяние твердости (отношение среднеквадратического отклонения твердости к ее среднему значению) снижается на 12%, что может быть обусловлено гомогенизирующим влиянием обработки ИЭТ на материал.

Результаты исследования свидетельствуют о том, что пористость в центральной части заготовки (рис. 1) несколько выше, чем у внешнего края. Это, по-видимому, обусловлено особенностями технологии производства заготовки методом СВС. По строению структура полученной заготовки подобна структуре литого слитка: наружная часть более плотная, а в осевой расположена усадочная пористость, формирующаяся на завершающей стадии кристаллизации металла. С учетом этого на образцах выделяли две зоны (рис. 1) с различной пористостью, которые исследовали отдельно с помощью графического анализатора изображений.

Для анализа пористости использовали модель, основанную на существовании двух фаз, одна из которых металл, другая – несплошности. В результате получили количественную информацию о неоднородности материала в пределах от 2,5 мкм до максимальных размеров пор в образцах. Эта методика позволяет исследовать такие параметры, как плотность распределения несплошностей и их размеры до и после обработки ИЭТ. Обобщенные результаты анализа приведены на рис. 3.

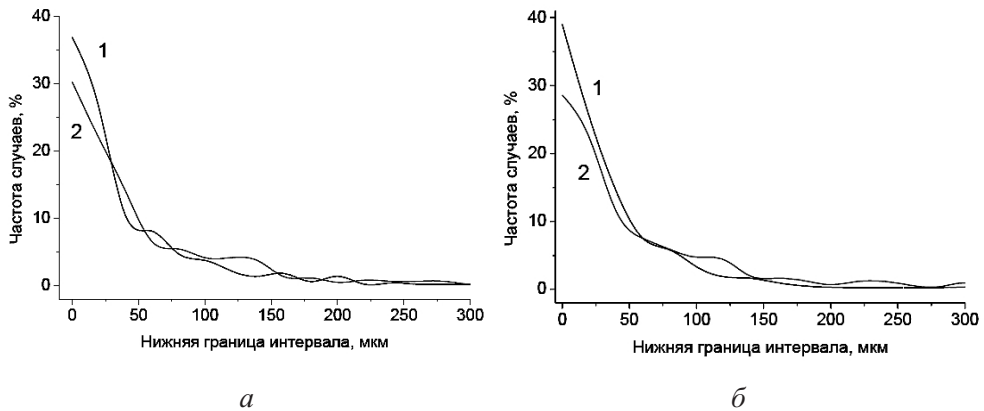


Рис. 3. Распределение пор в центральной части заготовки (а) и у края образца (б): 1 – материал в исходном состоянии; 2 – после обработки ИЭТ.

В исходном и обработанном образце количество пор в центральной части заготовки (рис. 1) примерно одинаковое, незначительные расхождения находятся в пределах погрешности. Однако при распределении в образце их размеры существенно различаются (рис. 3, а). В образцах после пропускания ИЭТ наблюдается снижение количества пор размером 2,5...26 и 53...75 мкм приблизительно на 7%. В то же время количество пор размером 26...53 и 75...150 мкм несколько увеличивается в плоскости шлифа (~3,5%).

Результаты, представленные на рис. 3, б, показывают, что у края образца после обработки ИЭТ общее количество пор снижается на 9% по сравнению с таковым у образцов в исходном состоянии. В обработанном образце пор размером 2,5...53 мкм меньше на 10%, чем в исходном материале, некоторое их увеличение (~2%) наблюдается по достижении размеров 75...150 мкм.

Для определения фазового состава образцов проводили рентгеноструктурный анализ с использованием методов рентгеновской дифракции [11, 12]. На рис. 4, 5 представлены рентгенограммы исследованного материала в исходном и обработанном состоянии с указанием рефлексов TiAl и Ti₃Al фаз. На рентгенограммах присутствуют рефлексы от обеих фаз. Сопоставление интенсивности отражений показывает, что основной фазой исследованного материала является γ -TiAl с тетрагональной решеткой с периодами $a = 0,3991$ нм, $c = 0,4062$ нм и $c/a = 1,017$ в исходном состоянии, что несколько больше, чем для образцов после обработки ИЭТ ($a = 0,3986$ нм, $c = 0,4059$ нм и $c/a = 1,018$). Вторая α_2 -фаза представлена на рентгенограмме более слабыми линиями, часть из которых перекрываетяется рефлексами γ -фазы.

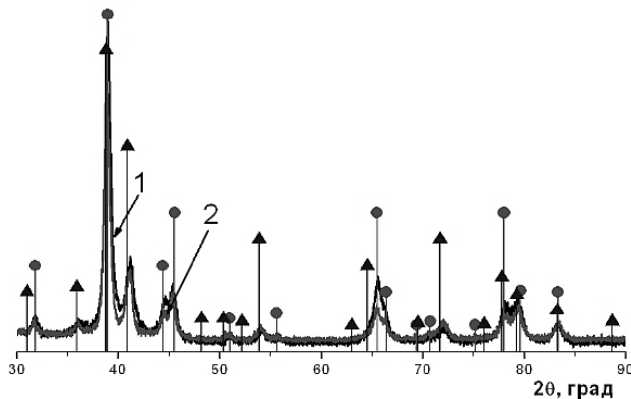


Рис. 4. Рентгенограммы исследованного интерметаллида Ti-48Al-2Nb-2Cr в исходном состоянии (1) и после обработки ИЭТ (2). (Здесь и на рис. 5: ● – эталонные значения TiAl; ▲ – эталонные значения Ti_3Al .)

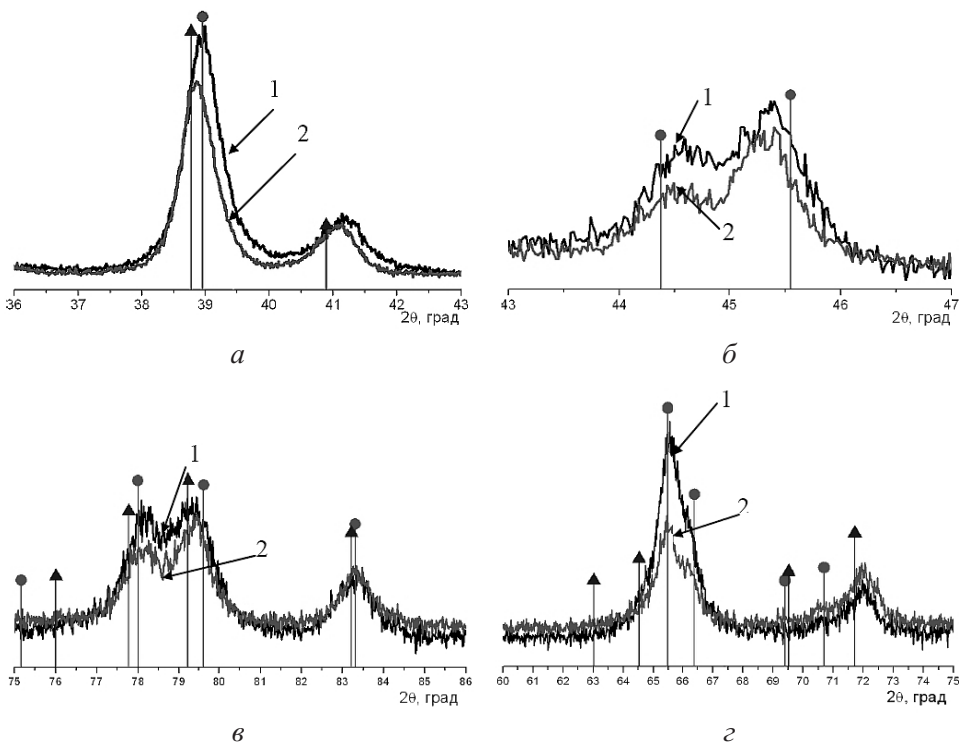


Рис. 5. Рентгенограммы исследованного интерметаллида Ti-48Al-2Nb-2Cr в исходном состоянии (1) и после обработки ИЭТ (2): а, в – результатирующее распределение интенсивности линий дифракции при близком расположении и наложении углов отражения 2θ TiAl и Ti_3Al фаз; б, г – дифракционные линии с близкими углами отражения 2θ TiAl фазы.

На рис. 5 приведены профили дифракционных линий для различных углов отражения 2θ . Интенсивность некоторых линий для образцов в исходном состоянии несколько выше, чем для обработанных ИЭТ. Различия, преимущественно в интенсивности, присущи рефлексам γ -фазы, углы отражения которых близки (рис. 5, б, г), или рефлексам, в которых углы отражения TiAl и

Ti₃Al фаз накладываются друг на друга (рис. 5,*a,b*). На рентгенограммах они часто имеют вид дублетов, что затрудняет разделение пиков и последующий их анализ. На отдельно расположенных рефлексах изменений интенсивности нет, за исключением дифракционной линии с углом отражения 41,1°.

В табл. 3 приведены основные данные рентгенограмм (углы отражения 2θ, ширина линий, размеры блоков когерентного рассеивания (БКР)) для образцов до и после обработки ИЭТ. Отметим, что для обработанных образцов наблюдается сужение линий дифракции. Это может быть обусловлено снижением степени микроискажений структуры (уменьшением микронапряжений, вызванных этими микроискажениями).

Т а б л и ц а 3

Изменение размеров блоков когерентного рассеивания (*D*) и ширины рентгеновских линий (*β*) интерметаллида Ti-48Al-2Nb-2Cr

Материал	Угол отражения 2θ, град				
	38,9	41,1	44,5	45,3	65,5
Исходное состояние	$\frac{14,30}{0,654}$	$\frac{10,22}{0,921}$	$\frac{13,25}{0,719}$	$\frac{11,63}{0,822}$	$\frac{11,90}{0,882}$
После обработки ИЭТ	$\frac{14,63}{0,639}$	$\frac{13,30}{0,708}$	$\frac{13,78}{0,692}$	$\frac{14,24}{0,671}$	$\frac{15,31}{0,685}$

Примечание. Над чертой приведены значения *D*, нм; под чертой – *β*, град.

Уменьшение ширины дифракционных линий также может быть связано с изменением внутризеренной тонкой структуры материала, в частности, размеров БКР. Для расчета размеров БКР (*D*) в направлении, перпендикулярном области отражения, использовали зависимость $D = \lambda / (\beta \cos \theta)$, где λ – длина волны; β – ширина рентгеновской линии; θ – угол отражения. В качестве ширины линии принимали угловую ширину в радианах на половине максимума интенсивности. Точность измерений составляет 0,005°.

Микроструктура исследованного материала, состоящая из светлых зерен, γ-фазы и зерен с ламелярным строением, в которых послойно чередуются две интерметаллические α₂- и γ-фазы, приведена на рис. 6. Размеры зерен составляют от нескольких десятков микрон до сотен.

Видно, что края пор в материале, обработанном ИЭТ, имеют более округлую форму. Большое количество микротрещин, преимущественно расположенных на границах зерен и вдоль пластин ламелярных колоний, наблюдается в исходных образцах (рис. 6,*a,b*). Микротрешины, расположенные поперек слоистой структуры или выходящие из пор, отмечаются реже.

Поскольку при проведении анализа пористости такие дефекты отсутствовали на поверхности образцов, можно утверждать, что растрескивание произошло под действием коррозионной среды, в качестве которой в данном случае использовался реактив для травления шлифов. Заметим, что необходимым условием коррозионного растрескивания помимо агрессивной среды является наличие растягивающих напряжений [13]. В структуре образцов, прошедших обработку ИЭТ (рис. 6,*b,c*), было выявлено меньшее количество

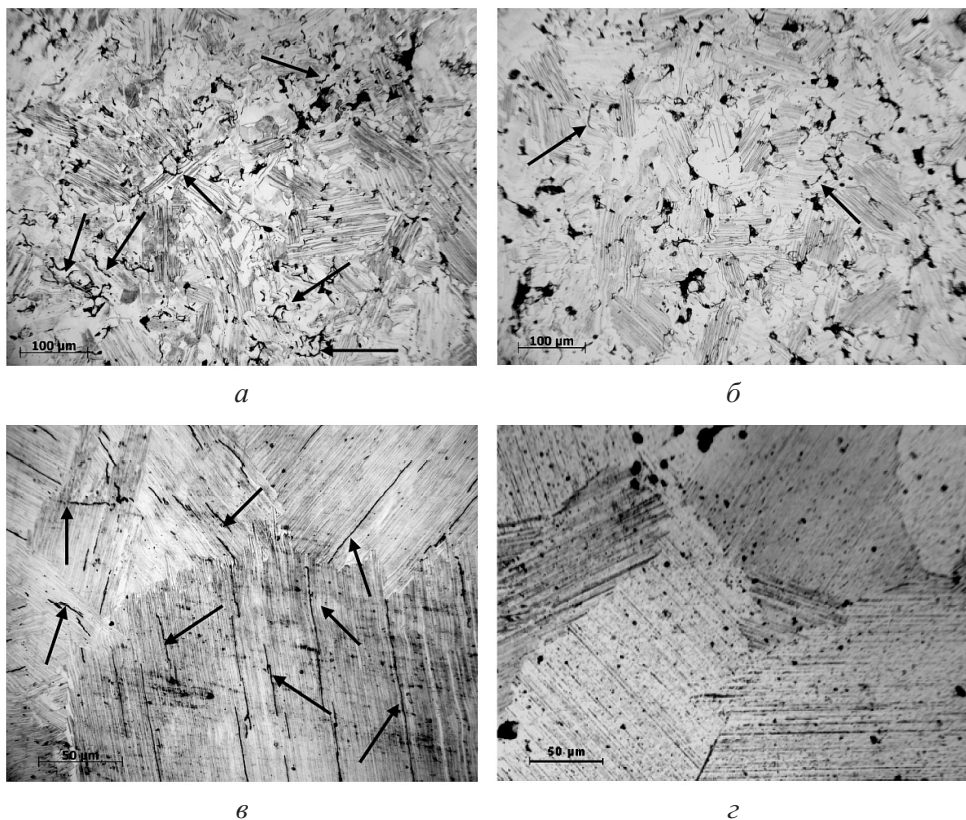


Рис. 6. Микроструктура исследованного интерметаллида Ti-48Al-2Nb-2Cr в исходном состоянии – а, в и после обработки ИЭТ – б, г. Стрелками указаны трещины.

подобных микротрещин по сравнению со структурой исходных образцов, что может быть следствием снижения растягивающих напряжений в объеме металла.

Обсуждение результатов. Выше указывалось, что один из главных недостатков интерметаллида TiAl – его повышенная хрупкость при комнатной температуре. Данные механических испытаний, проведенных при комнатной температуре, свидетельствуют о том, что обработка ИЭТ приводит к снижению хрупкости материала образцов (уменьшается микротвердость и повышается деформация до разрушения). Это может быть следствием ряда эффектов, стимулированных действием ИЭТ.

В металле под действием импульсного тока, прежде всего, происходит изменение количества пор, их распределения по размерам и морфологии. Это связано со специфическим действием импульсного тока, таким как прямое воздействие электронов проводимости на дефекты металла (электромиграция) и инициирование процессов массопереноса. По-видимому, в результате обработки в материале имеют место одновременно два процесса: аннигиляция пор малого диаметра [14] и их коалесценция (аналогичные данные были получены ранее для интерметаллида NiTi [15]). При обработке ток концентрируется на дефектах (порах), что приводит к локальному выделению тепла. Температурные градиенты повышают скорость диффузионных процессов в

материале, особенно на участках с несовершенной структурой, обладающих высокой внутренней энергией, и приводят к формированию сжимающих напряжений в местах несплошностей. Это способствует уменьшению размеров пор либо их полному исчезновению (заличиванию). Одновременно обработка ИЭТ повышает подвижность дефектов, происходит миграция мелких пор и их слияние между собой. В результате распределение пор в материале становится более однородным, а количество пор размером 75...150 мкм увеличивается. Анализ распределения пор, превышающих размеры 150 мкм, не проводился из-за малого их количества в образцах.

Однако более значимым фактором, приводящим к снижению хрупкости исследованного материала в результате обработки ИЭТ, видимо, является релаксация остаточных напряжений. Данные исследований, полученные в [16–18] и в других работах, свидетельствуют о существовании эффекта релаксации напряжений в результате действия ИЭТ, что связывают с электро-пластическим эффектом.

В настоящем исследовании рассматривается исходный материал, полученный в экстремальных условиях, который характеризуется высоким уровнем остаточных напряжений. Микроструктура исследуемого интерметаллида образуется вследствие диффузии атомов титана и алюминия, и система становится химически равновесной благодаря поочередному формированию γ -пластин и α_2 -фаз. Форма выделений определяется взаимозависимыми факторами: поверхностной энергией и энергией микрискажений, которые стремятся к минимуму. Ламелярная структура имеет большую площадь межфазовых границ. Вдоль расположения пластин поверхностная энергия максимальна, между пластины энергия упругой деформации минимальна. В результате этого соотношения параметров фаз в сформированной структуре присутствуют остаточные напряжения, величина которых зависит от скалярной плотности и определенного порядка размещения дислокаций.

На напряженное состояние материала оказывают воздействие как ограниченные дефекты [19] (вакансии, петли дислокаций), так и дефекты микроструктуры (прямолинейные дислокации, узлы внедрения, ошибки упаковки), возникшие при данном использовании метода получения материала. Дефекты первого типа приводят к смещению пиков, изменению интенсивности и их относят к искажениям первого рода. Дефекты второго типа имеют прямое отношение к искажениям второго рода, которые уравновешиваются в небольших объемах материала, примерно равных размеру зерна или нескольким составляющим его блокам. Исходя из результатов рентгеноструктурного анализа (рис. 5, табл. 3) выше были описаны различия на рентгенограммах, полученных для образцов в исходном состоянии и обработанных током. Большое количество дифракционных эффектов на рентгенограммах, вызванных несовершенствами кристаллической структуры материала и наличием дефектов различных типов, свидетельствует о высоком напряженном состоянии материала.

Так, снижение интенсивности линий γ -фазы обработанных образцов (рис. 5, б, г) могло вызвать суммарное влияние перераспределения ограниченных дефектов (вакансии, дислокационные петли), а также зафиксированное изменение параметров решетки. Более сложными для анализа являются про-

фили линий, где на близких углах отражения происходит наложение рефлексов нескольких фаз. Для них остается справедливым воздействие тех же факторов, что и для рефлексов одной фазы с близкими углами отражения. Однако при этом отмечается дополнительное влияние искажения различных кристаллических решеток обеих фаз относительно друг друга. Как следствие, результирующее распределение интенсивности линий и их формы для обработанных образцов приобретают вид, представленный на рис. 5, а, в.

Сужение дифракционных линий в образцах после обработки ИЭТ может быть обусловлено перераспределением искажений в тонкой структуре и снижением плотности дислокаций, что сопровождается уменьшением микронапряжений и изменением размеров БКР (рис. 7): среднее значение БКР увеличивается с 12,26 нм для материала в исходном состоянии до 14,25 нм для обработанного ИЭТ.

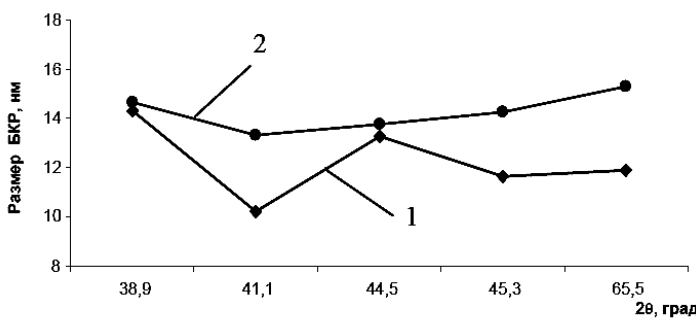


Рис. 7. Размеры БКР для образца в исходном состоянии (1) и после обработки ИЭТ (2).

Об уменьшении остаточных растягивающих напряжений исследуемого материала в результате обработки ИЭТ свидетельствуют данные анализа реакции на химический травитель: возникновение микротрещин на шлифах исходного материала и незначительное их количество на шлифах обработанного.

По-видимому, указанные выше изменения обусловлены не только электропластическим, но и термическим эффектом ИЭТ (джоулев разогрев), несмотря на его короткий промежуток действия. Из-за наличия большого количества пор в материале может происходить существенный локальный разогрев [20], вследствие чего в локальных областях протекают процессы самопроизвольного отдыха и рекристаллизации, приводящие к уменьшению искажений структуры.

Таким образом, в результате обработки ИЭТ образцов интерметаллида системы Ti–48Al–2Nb–2Cr, полученного методом СВС, снижается их хрупкость и повышается однородность (гомогенность), что может происходить за счет стимулированного током изменения тонкой структуры материала, снижения доли мелких пор в объеме и остаточных растягивающих напряжений.

Вместе с тем полученные значения прочности материала (как исходного, так и после обработки ИЭТ) 325...347 МПа ниже, чем приведенные в литературных источниках [21] для материалов этого же состава (400...800 МПа). Это может быть связано со значительной неоднородностью структуры исходного материала, а также с остаточной пористостью, которую не удалось полностью устранить при обработке образцов ИЭТ.

Авторы выражают благодарность д-ру П. Егизабалю (INASMET, Spain) за предоставленные материалы для исследований.

Резюме

Наведено результати досліджень впливу обробки імпульсним електричним струмом на міцність при згині і твердість інтерметаліду алюмінід титану, отриманого методом самопоширюваного високотемпературного синтезу. Показано, що обробка приводить до незначного підвищення міцності і пластичності інтерметаліду порівняно з вихідним станом, однак при цьому зменшується його твердість. Мікроструктурні дослідження показують, що зменшення крихкості матеріалу в результаті обробки є наслідком стимульованої струмом зміни тонкої структури матеріалу, перерозподілу пор і зниження залишкових напружень розтягу.

1. Yamaguchi M., Inui H., and Ito K. High-temperature structural intermetallics // Acta Mater. – 2000. – **48**, No. 1. – P. 307 – 322.
2. Sauthoff G. Multiphase intermetallic alloys for structural applications // Intermetallics. – 2000. – **8**, Issue 9-11. – P. 1101 – 1109.
3. Исаев К. Б., Рогозинская А. А., Ахонин С. В. и др. Техофизические характеристики γ -сплава алюминида титана // Авиац.-косм. техника и технология. – 2009. – № 10. – С. 128 – 131.
4. Loria E. A. Gamma titanium aluminides as prospective structural materials // Intermetallics. – 2000. – **8**, Issue 9-11. – P. 1339 – 1345.
5. Голотвяниця В. С., Цвірко Е. І., Саєнко С. Ю., Холомеєв Г. О. Вплив баротермічної обробки на структуру та властивості інтерметалідних γ -TiAl сплавів // Металознавство та обробка металів. – 2008. – № 1. – С. 30 – 34.
6. Курзина И. А., Божко И. А., Калашников М. П. и др. Высокоинтенсивная имплантация ионов алюминия в титан // Металлофизика и новейшие технологии. – 2004. – **26**, № 12. – С. 1645 – 1660.
7. Taguchi K., Ayada M., Ishihara K. N., and Shingu P. H. Near-net shape processing of TiAl intermetallic compounds via pseudo HIP-SHS route // Intermetallics. – 1995. – **3**, Issue 2. – P. 91 – 98.
8. Sohn H. Y. and Wang X. Self-propagating high temperature synthesis (SHS) of intermetallic compounds titanium and nickel aluminides // Mater. Manufact. Proc. – 1994. – **2**, No. 1. – P. 75 – 87.
9. Мержанов А. Г. Самораспространяющийся высокотемпературный синтез // Физическая химия. Современные проблемы / Под ред. Я. М. Колотыркина. – М.: Химия, 1983. – С. 6 – 44.
10. Степанов Г. В., Бабуцкий А. И., Мамеев И. А. Нестационарное напряженно-деформированное состояние в длинном стержне, вызванное импульсом электрического тока высокой плотности // Пробл. прочности. – 2004. – № 4. – С. 60 – 67.
11. Тейлор А. Рентгеновская металлография. – М.: Металлургия, 1965. – 665 с.

12. Порай-Кошиц М. А. Основы структурного анализа химических соединений: Учеб. пособие. – 2 изд., перераб. и доп. – М.: Высш. шк., 1989. – 192 с.
13. Гольдштейн М. И., Грачев С. В., Векслер Ю. Г. Специальные стали – М.: Металлургия, 1985. – 408 с.
14. Баранов Ю. В. Физическая модель структурных изменений металлических материалов при воздействии импульсного электрического тока // Пробл. машиностроения и надежности машин. – 2000. – № 4. – С. 57 – 65.
15. Pozdnykova A., Giuliani A., Dutkiewicz J., et al. Analysis of porosity in NiTi SMA's changed by secondary pulse electric current treatment by means of ultra small angle scattering and micro-computed tomography // Intermetallics. – 2010. – **18**, Issue 5. – P. 907 – 912.
16. Stepanov G. V., Babutskii A. I., Mameev I. A., et al. Experimental evaluation of pulse electric current effect on residual stresses in composite-to-copper joints // Strength Mater. – 2008. – **40**, No. 4. – P. 452 – 457.
17. Бабуцький А. І., Мамеєв І. А., Чижик Г. В. Вплив обробки імпульсним електричним струмом на залишкові напруження в тонкому покритті Ti–Al–Si–Ag // Металознавство та обробка металів. – 2008. – № 2. – С. 54 – 57.
18. Невский С. А., Коновалов С. В., Громов В. Е., Воробьев С. В. Релаксация напряжений в алюминии в условиях влияния электрических потенциалов // Физическое материаловедение: Тр. IV Междунар. школы (14–18 сен. 2009 г.). – Тольятти: ТГУ, 2009. – С. 79 – 80.
19. Кривоглаз М. А. Дифракция рентгеновских лучей и нейтронов в неидеальных кристаллах. – Киев: Наук. думка, 1983. – 408 с.
20. Беклемешев Н. Н., Корягин Н. И., Шапиро Г. С. Влияние локально неоднородного импульсного электромагнитного поля на пластичность и прочность проводящих материалов // Металлы. – 1985. – № 4. – С. 184 – 187.
21. Trinh D. and Müller M. Aluminides. – Functional Materials, Project Report 4H1609. – KTH, 2002. – 30 p.

Поступила 21. 01. 2012